

中空供試体を用いた土の引張試験機について

フジタ工業 技術研究所 正員 福島 伸二
フジタ工業 技術研究所 正員 石井 武美

1. まえがき

土質工学で扱う問題のうちで土の引張強度特性が必要となるのは(1)斜面安定問題において斜面上部に現れる引張領域を考慮して解析する時、(2)フィルダムコアソーラのハイドロテクノロジーにおける安定性を評価する時、(3)土の引張から圧縮領域へわたる全体的剪断破壊線($\sigma_f = f(\sigma)$)を求める場合などが考えられる。土の引張強度を求める試験機は数多く製作されてきたが正確な土の引張強度を評価できるものは少なくてこれまでの目的に応じて使い分けているのが現状であろう。ニニでは正確な土の引張強度を求めるために製作した中空供試体を用いた引張試験機(Hollow Cylinder Test)とその適用性について述べる。この試験機は元々 Kirkpatrick, W.M.(1957)¹⁾が三次元应力下での剪断強度特性を調べるために使用したものと同型式である。

2. 中空供試体を用いた引張試験機

中空供試体を用いた引張試験システムをFig. 1に示してある。この試験機は通常の三軸セルのキャップペデスタルと中空供試体用キャップ(ロードセル)、ペデスタルに交換したもので、外径 $d_0 = 10\text{cm}$ 、内径 $d_1 = 6.8\text{cm}$ 、高さ $h_s = 10\text{cm}$ の中空供試体の内・外側面はラバーメンブレンであり、上・下端面はドーナツ型のアクリル円筒に接着している。このアクリル円板と供試体間に摩擦除去用のメンブレンとシリコングリースの互層があわせてある。軸荷重は γ_{f} で取り付けられたロードセルにより測定される。中空供試体の外側圧力(P_o)はセル圧で設定され、内側と外側の圧力差($P_i - P_o$)は供試体内側に水を一定流量注入して加入して変位制御で加えて供試体を破壊させるものである。供試体の半径 r_0 か(σ_r)、接線応力(σ_θ)は半径方向に一定でないため供試体の平均的半径 \bar{r}_0 、 σ_r と σ_θ には何らかの特別な取扱いが必要である。ニニでは Kirkpatrick, W.M の方法により

$$\bar{\sigma}_\theta = \{P_o - P_i(r/r_0)\} / \{1 - (r/r_0)\} = \sigma_r$$

$$\bar{\sigma}_r = \sigma_1 = \bar{\sigma}_0/\lambda, \quad \lambda = 1 + \ln(P_0/r_0)/\ln(\bar{r}_0/r_0)$$

のように決定する二つに可す。この引張試験の特徴として次のようなことが考えられる。

- (1)せん断中の過剰間隙水压を測定すれば有効応力で引張強度を算ることができる。(2)平面ひずみ条件($\epsilon_2 = \epsilon_a = 0$)である。(3)せん断中の剪断路径はひずみ軸方向に変化する試験である。

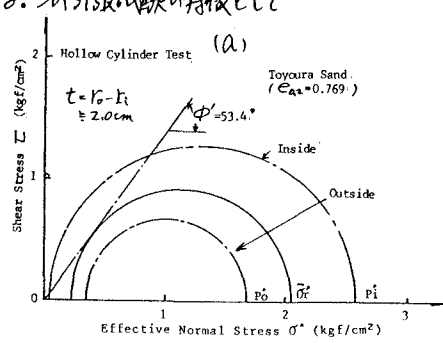


Fig. 2. 供試体の初期状態($(\sigma'_0/\sigma'_0)_{\max}$ 時) (a) $t = 2\text{cm}$

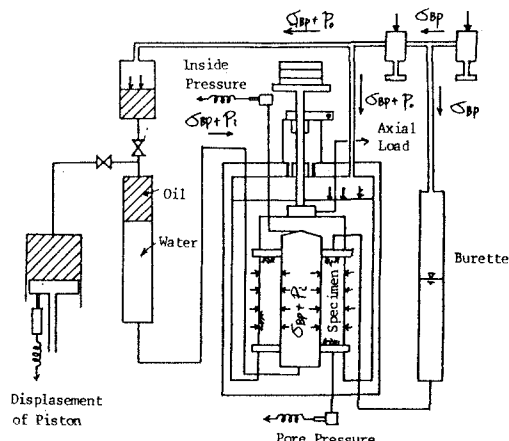
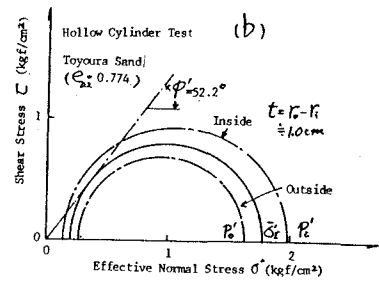


Fig. 1 中空供試体を用いた引張試験システム



(b) $t = 1\text{cm}$

3. 豊浦砂に関する実験

試験用供試体を柱 $P_i = P_o = 1.0 \text{ kgf/cm}^2$ まで等方圧密して後、軸載荷を施して(平面ひずみ $\epsilon_2 = \epsilon_a = 0$)。供試体内部に内圧(P_i)のまま増加させて非排水条件で供試体を破壊せしむる。供試体は空室セル中に空気乾燥状態の砂で空中落下法で作製し水で湿润させた後凍結させて準備した。Fig. 2(a), (b) にそれまでの供試体の肉厚 $t = L_o - r_i = 2 \text{ cm} \times 1 \text{ cm}$ の場合の最大応力 $\sigma'_1 / (\sigma'_1 + \sigma'_3)$ max 時における Mohr の円を示してある。これら実線は Karkpatrick の方法で求めた σ'_1 と σ'_3 を、

一算盤線は供試体内部($r = r_i$)と外側における $\sigma_{\theta i}$ ($\sigma_{\theta i} = P_o + R P_i$)を示している。左供試体が要素として一様な応力、ひずみ状態にあれば肉厚に關係なく同じ $\sigma_{\theta i}$, $\sigma_{\theta i}$ を示すことができる。供試体内部・外の応力差が肉厚が下さい場合の方が大きいが、平均的応力比(σ'_1 / σ'_3)は肉厚に關係なくその差はないことがわかる。この場合 $C' = 0$ とおいて求めた内部摩擦角 $\phi_i = \sin^{-1}((\sigma'_1 - \sigma'_3)/(\sigma'_1 + \sigma'_3))$ の差である $\Delta\phi_i = 1.2^\circ$ である。この試験の三軸圧縮試験に比較すれば精度が高い結果を得ることとはできぬが、内部摩擦角を求めめるのはむしろ実用的問題に対する土の破壊規準($T_f = f(\sigma'_1)$)など求めの場合には二の程度の差は許されると考えられる。併拘束圧値(二の場合は $0.4 \sim 0.1 \sim 0.15 \text{ kgf/cm}^2$)では、特に土の引張強度問題は少しあ場合には内部摩擦角より破壊時のせん断応力(T_f)の方が重要だからである。

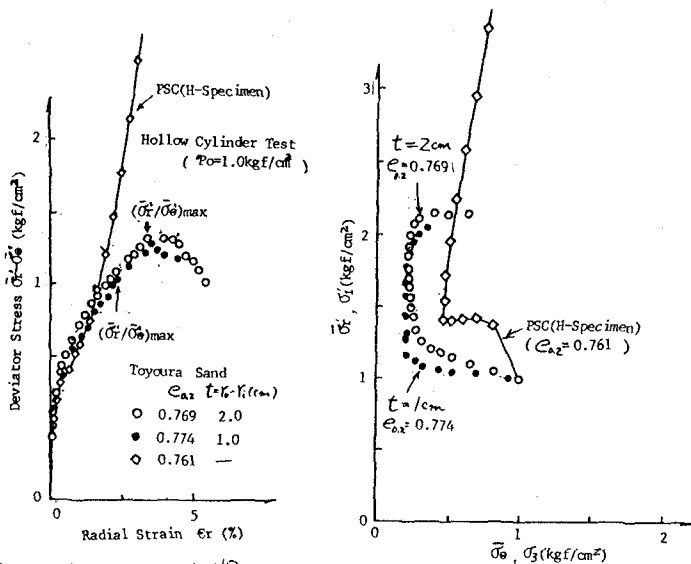


Fig. 3(b) 有効応力経路

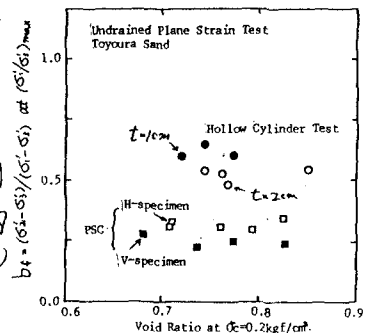


Fig. 4. $(\sigma'_1 / \sigma'_3)_{\max}$ 時の b 値。

Fig. 3(a), (b) に内厚 $t = 2 \text{ cm}$ と 1 cm の場合の応力-ひずみ曲線、有効応力経路を示してある。これら図から Karkpatrick の方法から求めた $\sigma_{\theta i}$, $\sigma_{\theta i}$ による応力-ひずみ曲線、有効応力経路は内厚に關係なくよい一致を示していることわかる。これらの Karkpatrick の方法の二軸の実験結果に対する実用性を示しているといえよう。次に通常の平面ひずみ圧縮試験(異方性に関しては H-Specimen (σ'_1 方向と垂直方向が一致) の場合が引張試験と同条件)の結果と比較してみる。Fig. 3(a), (b) に平面ひずみ圧縮試験(PSC)の結果を共に示してあるが、両者の結果は同じ平面ひずみ条件であるからさもなくば差がある。二つとも特徴的的是 PSC では供試体にすべり線が現れるまでの間隙水压の上昇量が非常に小さくかなり大きな偏差応力を示していることである。本来有効応力の原理が成り立つならば同じ条件での非排水試験では有効応力経路は唯一であることを考へると、これらの差の原因は何かあるか。Fig. 4 に両試験で得られた $(\sigma'_1 / \sigma'_3)_{\max}$ 時の b 値 ($= (\sigma'_1 - \sigma'_3) / (\sigma'_1 + \sigma'_3)$) を示してあるが PSC では $b_f = 0.2 \sim 0.3$ であるのに対し、引張試験では $b_f = 0.5 \sim 0.6 \times 2$ 倍の値を示している。これらの両試験の差については今後の研究が必要である。

4. 結論

中空供試体を用いた引張試験によると、平均的応力 N を決定するにはどうか特別な取扱いが必要であるが、実用的目的のための破壊規準規準($T_f = f(\sigma'_1)$)を求める上で Karkpatrick の方法は有用である。

1) Karkpatrick, W.M.(1957): The Condition of Failure for Sands, Proc. of 4th I.C.S.M.F.E., Vol.I, pp.172-178.